

06.1;11

©1993

# РАСПРЕДЕЛЕНИЕ ПОТЕНЦИАЛА НА ГРАНИЦЕ КРЕМНИЙ *p*-ТИПА — РАСТВОР ЭЛЕКТРОЛИТА

*С.Д.Бабенко, Н.И.Гусейнов*

Структура барьера на границе полупроводника с раствором электролита существенно сказывается на эффективности работы фотохимических преобразователей [1]. Обычно для его характеристики используют измерения дифференциальной емкости барьера [1,2]. Однако методы, основанные на измерении переменного тока, генерируемого малым переменным напряжением или модулированным светом, содержат ряд ограничений, связанных, в основном, с необходимостью применять высокочастотную модуляцию, чтобы исключить влияние емкости поверхностных состояний [2–4]. В настоящей работе распределение потенциала на границе кремния *p*-типа с раствором электролита определено на основе измерения фотопотенциала, возникающего при зарождении барьерной емкости зарядом, генерируемым коротким импульсом света, поглощаемым в полупроводнике. При низких уровнях возбуждения полупроводника регистрируемое изменение потенциала ( $V_m$ ) определяется зарождением емкости межфазной границы ( $C_t$ ) зарядом ( $Q$ ), генерируемым импульсом света:

$$V_m = Q/C_t. \quad (1)$$

Емкость  $C_t$  представляет собой сумму емкостей обедненной области полупроводника ( $C_{sc}$ ) и поверхностных состояний с временами перезарядки, не превышающими длительность импульса света. Время перезарядки емкости обедненной области полупроводника определяется временем диэлектрической релаксации [4]:

$$\tau_d = \epsilon_0 \epsilon / \sigma, \quad (2)$$

где  $\epsilon_0$ ,  $\epsilon$ ,  $\sigma$  — диэлектрические проницаемости вакуума, полупроводника и его проводимость. Время перезарядки поверхностных уровней ( $\tau_{ss}$ ) определяется захватом на них неосновных носителей тока [3]:

$$\tau_{ss} = (v \sigma_s p_s)^{-1}, \quad (3)$$

где  $p_s$  — поверхностная концентрация дырок,  $v$  и  $\sigma_s$  — их тепловая скорость и сечение захвата. Для исследуемого кремния  $p$ -типа, легированного бором ( $\langle 111 \rangle, \sigma = 0.05 \text{ Ом}^{-1} \cdot \text{см}^{-1}$ ),  $\tau_d$  не превышает  $10^{-10}$  с, а поверхностные состояния с сечениями захвата, меньшими  $2 \cdot 10^{-11} \text{ см}^2$  ( $v = 10^7 \text{ см/с}$ ,  $|\Delta\Phi_{sc}| > |0.2 \text{ В}|$ ), не будут давать вклад в  $C_t (\tau_{ss} > t_i)$ . Однако заряд, сосредоточенный на поверхностных уровнях, может изменить распределение потенциала на межфазной границе [1,2]. Для емкости обедненной области полупроводника, находящегося в контакте с электролитом, справедливо соотношение Мота–Шоттки [1,2]:

$$C_{sc} = (\varepsilon_0 \epsilon N_a / 2)^{1/2} (|\Delta\Phi_{sc}| - kT/e)^{-1/2}. \quad (4)$$

С учетом приведенных оценок из (1), (4) следует:

$$V_m^2 \sim |\Delta\Phi_{sc}|. \quad (5)$$

Соотношение (5) по зависимости  $V_m$  от приложенного потенциала ( $V$ ) позволяет определить потенциал плоских зон  $V_{fb} (\Delta\Phi_{sc} = 0)$ . Если изменение  $E$  приводит только к изменению падения потенциала в полупроводнике, т.е.  $\Delta\Phi_{sc} = V - V_{fb}$ , то должна соблюдаться линейная зависимость  $V^2$  от  $V$ , наблюдаемая для  $n\text{-TiO}_2$  [5,6].

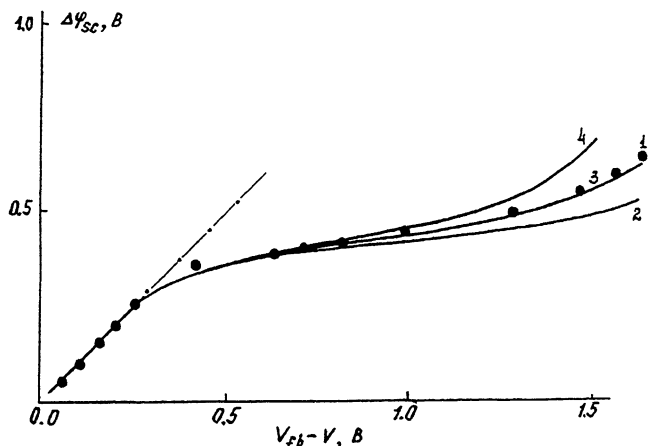
Методика измерений описана в [5,6]. В качестве импульсного источника света использовался азотный лазер ( $\lambda = 337 \text{ нм}, t_i = 13 \text{ нс}$ ). Регистрируемые сигналы не превышали 10 мВ. Поверхности электродов из кремния травились в смеси кислот HF, HNO<sub>3</sub>, CH<sub>3</sub>COOH (3:1:2). Для промывки электродов и приготовления растворов использовалась трижды дистиллированная вода. Тыловые контакты изготавливались из сплава InGa. KOH — марки ОСЧ.

На рисунке приведена зависимость  $\Delta\Phi_{sc}(V)$  в 0.1 моль/л растворе KOH, определенная по экспериментальной зависимости  $V_m(V)$  из (1) – (4). Отличие зависимости  $\Delta\Phi_{sc}(V)$  от линейной связано с заряжением поверхностных уровней (“закрепление” уровня Ферми на поверхности полупроводника [1–3]), при этом приложенный потенциал перераспределяется между обедненной областью полупроводника и слоем Гельмгольца в электролите ( $\Delta\Phi_H$ ):

$$V - V_{fb} = \Delta\Phi_{sc} + \Delta\Phi_H, \quad (6)$$

$\Delta\Phi_H$  зависит от зарядов в обедненной области полупроводника ( $Q_{sc}$ ) и поверхностных состояний ( $Q_{ss}$ ):

$$\Delta\Phi_H = (Q_{sc} + Q_{ss})/C_H, \quad (7)$$



Зависимость падения потенциала  $\Delta\Phi_{sc}$  в обедненной области *p*-кремния в растворе электролита от приложенного потенциала  $V$ .  
 1 — экспериментальная зависимость, 0.1 моль/л КОН; 2, 3, 4 — расчет  $\Delta\Phi_{sc}(V)$  по (6)–(9) с  $N_{1s} = 7 \cdot 10^{12} \text{ см}^{-2}$ ,  $T_c = 600 \text{ K}$ , и  $N_{2s} = 8 \cdot 10^{13} \text{ см}^{-2}$  (1);  $7 \cdot 10^{13} \text{ см}^{-2}$  (3);  $5 \cdot 10^{13} \text{ см}^{-2}$  (4).

где  $C_H$  — емкость слоя Гельмгольца ( $C_H = 10 \text{ мкФ}$  [1,2]).

$$Q_{ss} = e \int g(\varepsilon) f(\varepsilon, \varepsilon_f) d\varepsilon, \quad (8)$$

где  $f(\varepsilon, \varepsilon_f) = \left[ 1 + \exp \frac{\varepsilon - \varepsilon_f}{kT} \right]^{-1}$  — функция Ферми,  $g(\varepsilon)$  — плотность распределения уровней по энергии.

Экспериментальная зависимость  $\Delta\Phi_{sc}(E)$  аппроксимировалась рассчитанной по (6)–(9) с  $g(\varepsilon) = g_1(\varepsilon) + g_2(\varepsilon)$  при экспоненциальном распределении поверхностных уровней у потолка валентной зоны  $g_1(\varepsilon)$  и уровня вблизи середины запрещенной зоны  $g_2(\varepsilon)$ :

$$g_1(\varepsilon) = (N_{1s}/kT_c) \exp \left( \frac{\varepsilon_f^0 - \varepsilon}{kT_c} \right) \quad (9)$$

с поверхностью плотностью  $N_{1s}$ .

$$g_2(\varepsilon = (2N_{2s}\pi^{-1/2}\Delta)^{-1}) \exp \left\{ -(\varepsilon - \varepsilon_i)^2 \Delta^{-2} \right\} \quad (10)$$

с поверхностной плотностью  $N_{2s}$ , полушириной  $\Delta$  и положением уровня  $\varepsilon$  относительно уровня Ферми в объеме полупроводника ( $\varepsilon_f^0$ )  $\varepsilon^i - \varepsilon_f^0$

$$Q_{ss} = -e \left\{ N_{1s} \left[ 1 - \exp \left( \frac{-e|\Delta\Phi_{sc}|}{kT_c} \right) \right] + \right.$$

$$+ \frac{N_{sc}}{2} [I + \operatorname{erf} ((\varepsilon_f - \varepsilon_i + e|\Delta\Phi_{sc}|) \cdot \Delta^{-1})] \Big\}. \quad (11)$$

Хорошее согласие с экспериментом наблюдается при параметрах  $N_{1s} = 7 \cdot 10^{12} \text{ см}^{-2}$ ,  $T_c = 600 \text{ К}$ ,  $N_{2s} = 7 \cdot 10^{13} \text{ см}^{-2}$ ,  $\Delta = 0.1 \text{ эВ}$ ,  $\varepsilon^i - \varepsilon_f^0 = 0.45 \text{ эВ}$  и измеренном потенциале плоских зон  $V_{fb} = -0.3 \text{ В}$  нас.к.э.

Высокая плотность обнаруженных поверхностных состояний в значительной степени определяет распределение потенциала на границе кремний-электролит, что в свою очередь, влияет на эффективность разделения зарядов в кремнии и их перенос тока через границу раздела при фотоэффекте в подобных системах [1,7].

### Список литературы

- [1] Геришер Х. // Преобразование солнечной энергии. Вопросы физики твердого тела. М.: Энергоиздат, 1982. С. 106–189.
- [2] Gomes W.P., Cardon F. // Prog. Surf. Sci. 1982. V. 12. N 2. P. 155–215.
- [3] Зи С. // Физика полупроводниковых приборов. Кн. 1. М.: Мир, 1984. 455 с.
- [4] Берман Л.С. // Введение в физику варикапов. Л.: Наука, 1968. 180 с.
- [5] Бабенко С.Д., Бендерский В.А., Рукин А.Н. // ДАН СССР. 1983. Т. 271. В. 6. С. 1408–1411.
- [6] Бабенко С.Д., Бендерский В.А., Бородько Ю.Г., Рукин А.Н., Салимтра Г.С. // Химическая физика. 1984. Т. 3. В. 4. С. 584–592.
- [7] Guyomard D. // J. Chim. Phys. 1986. V. 83. N 3. P. 355–391.

Филиал Института  
энергетических проблем  
химической физики РАН  
Черноголовка

Поступило в Редакцию  
5 августа 1993 г.